

東海大学工学部 正員 稲田倍穂
金沢工業大学 正員 外崎 明

I)まえがき

飽和粘性土の応力-ひずみ-時間に関する研究において、軸差応力 σ_d - 発生水圧 Δu - 軸ひずみ ϵ_1 等の関係は載荷速度に大きく依存することは多くの研究者によって報告されている。本実験では、少し観点を変えて、載荷レベル、またその載荷時間(放置期間)の影響などのように応力-ひずみ特性に変化を与えるかを調べることを目的としている。このことは、最近の工期短縮による盛土の施工やせん断変形、クリープ変形の応力履歴を受けた地盤を検討するためにも重要な問題と思われる。

2)試料および実験方法

実験に用いた試料は、石川県津幡および新潟県能生の地すべり地帯より採取して来たものである。試料の物理的性質は表-1に示した通りである。この粘土をペースト状に十分ねりかえし、モールド内で予備圧密(0.24 kg/cm^2)したのち高さ $h_0 = 12.5 \text{ cm}$ 、径 $d_0 = 5.0 \text{ cm}$ に供試体を作成した。端面の摩擦を除去するためシリコンオイルをぬたテフロンシートを敷いた。セル圧 1 kg/cm^2 で等方圧密し、排水はP-10ドレンを巻いて、半径方向に圧密排水するようにした。供試体の飽和度は計算上では、ほぼ100%でありバックプレッシャーは用いていない。せん断中供試体に生ずる過剰間隙水圧はストレインゲージタイプの間隙水圧計により自記測定した。実験は図-1に示したように3種類の方法で圧密非排水せん断試験(Cu試験)を実施してその応力-ひずみ特性を比較している。(I)応力制御せん断試験A……セル圧(1 kg/cm^2)を一定に保ち、図-1に示したように一定荷重 0.1 kg/cm^2 を1時間保つ後、荷重 0.2 kg/cm^2 に増しまた1時間載荷し、さらに破壊まで続ける。載荷速度は $\dot{\sigma} = 0.1 \text{ kg/cm}^2/60 \text{ min} = 1.67 \times 10^{-3} \text{ kg/cm}^2/\text{min}$ であり、この試験結果を一つの基準とした。(II)クリープ後せん断試験B……たとえば、瞬間に荷重 0.3 kg/cm^2 加えたの方、3時間放置し、その後実験Aと同様な載荷速度でせん断する。(平均載荷速度を実験Aに合わせている。)(III)クリープ後せん断試験C……ある荷重を瞬間に加えたの方、4日間放置(5760 min)その後実験Aと同様な載荷速度でせん断する。

3)実験結果および考察

図-2は実験A,B,Cの各載荷荷重段階における最終値の軸ひずみ ϵ_1 に対する軸差応力 σ_d と発生水圧 Δu の関係を示したものである。実験A,Bの平均載荷速度を同一にした場合、軸差応力-軸ひずみの関係を比較すると上限降伏値(村山集田らの方法で決定) 0.66 kg/cm^2 以下では瞬間載荷荷重の大きさによらずほぼ同量のひずみが生じている。また実験Bのその後のせん断過程でも、ほぼ実験Aの曲線上に載っているが、破壊付近の軸差応力 $\sigma_d = 0.8 \text{ kg/cm}^2$ では実験Bの瞬間載荷荷重の大きいものはどのび軸ひずみは小さくなる傾向が見られた。実験Bの上限降伏値以下の載荷荷重 ($\sigma_d = 0.7 \text{ kg/cm}^2$) で、ひずみは実験Aの同一荷重におけるひずみに一致せず、かなり大きくなっている。図中黒塗りは、実験Cの結果である。当然のことながら実験A,Bより同一載荷荷重でのひずみ量は大きくなっている。

表-1

	NO.1 石川津幡地 新潟能生粘土	NO.2
土粒子の比重	2.67	2.69
コンシスティエンシーリミット	WL	53.5
WP	20.4	22.0
IP	33.1	60.0
粒土組成	砂 %	22.0
	シルト %	47.0
	粘土 %	31.0
主な粘土鉱物 X線分析	イオリサイト クロサイト	モンモリノサイト

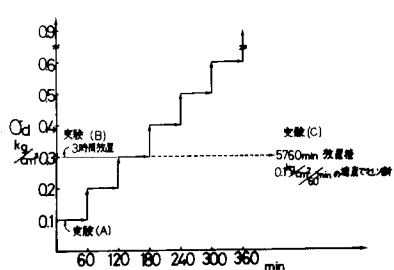


図-1

クリープ後のせん断において、実験A,Bにくらべて各載荷荷重段階でのひずみの増分量は少ない。しかし、いずれの場合も $\sigma_d = 0.9 \text{ kg/cm}^2$ 載荷したのち破壊にいたった。

A. Casagrande and S.D. Wilson らは載荷時間の増加にしたがい破壊強度が低下することより、クリープ後のせん断強度は低下するとしている。村山柴田らは上限降伏値より大きいクリープ応力の場合強度は低下し、上限降伏値以下では数日にして、10%程度の強度増加が期待できることを報告している。

鈴木田中らは上限降伏値付近のクリープ試験を行ない、上限降伏値以上の荷重によるクリープ後であってもクリープひずみが小さい場合強度増加が期待できそうであると報告している。このようにクリープ履歴の強度増加については種々の報告があり、土性やシキソトロピー等の物理化学的要因やクリープ履歴を受けたことによる骨格構造の変化、また試験条件などの相違も考えられるため、さらに実験データを集め検討中である。発生水圧とひずみの関係は各載荷荷重の大きさ、また上限降伏値の上下に関係なく実験A,B,Cのプロットはほぼ同一曲線上にあり、発生水圧はひずみで決まる傾向が得られている。図-3は有効応力経路および平均有効主応力 $\bar{\sigma}_m$ の経時変化を示したものである。実験A,Bの経路を見ると、ほぼ同一の応力経路をたどって破壊に至っている。クリープ時間を長く取った実験Cの場合、クリープ後のせん断経路は徐々に実験A,Bの経路に隣接して行く。これだけのデータでは、まだはっきりしたことは言えないが、クリープ後の経路はそのせん断速度に依存する傾向が得られた。

4) 結論
以上得られた結果を要約すると次のようになる。
① 上限降伏値以下の荷重では、瞬間載荷荷重の大きさにかかわらず平均載荷速度を同一にした場合、ひずみ量および発生水圧はそれぞれほぼ一致する。
② 発生水圧は載荷荷重の大きさにかかわらずひずみで決まる傾向がある。
③ クリープ後のせん断において、クリープ時間を長くしてもそのせん断速度の場合と同一強度で破壊する結果を得た。
なお本報告では、No.2の試料について述べていないが同様の結果を得ていることを付記する。また、現在載荷速度、載荷形式を変えた実験を行なっているので講演時にはその結果を補足して説明したい。
最後に日頃より御助力賜わっている本学宮北啓教授、東海大学赤石勝講師、また実験を補助した卒研生の荒木輝久、山本正樹、小真頼弘文君に深謝します。

参考文献

1. 鈴木田中: 東海大学工学部紀要 No.2 1975
2. 金谷川: 土木学会27回講演会集
3. 小井足立安藤: 土木学会論文集 No.245 1974
4. A.Casagrande; Gotechnique 1951
5. Singh, Mitchell; ASCE 1968
6. Shibata, Kanbara; Proc. of 7th Int. conf. 1969
7. 村山柴田: 土木学会論文集 No.202 1972
8. 村山柴田: 土木学会論文集 No.202 1972

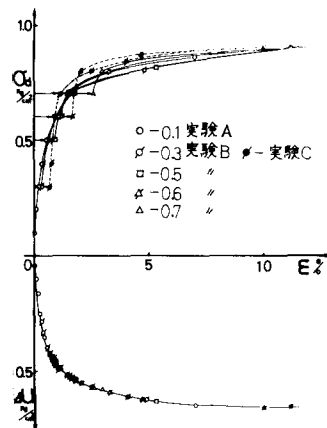


図-2

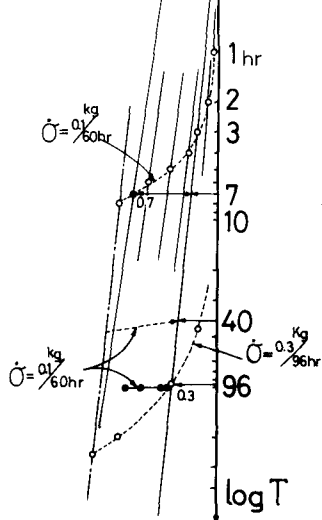
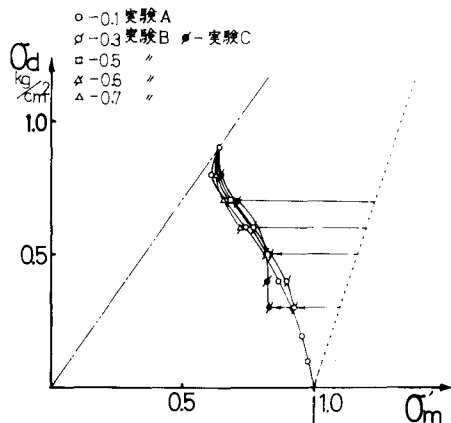


図-3